

## III-8

## 緩斜面模型実験の非定常浸透流・安定解析

長崎大学 正伊勢田哲也 同 植橋由彦  
同 学 川原幸男 同 有吉正敏

## 1. まえがき

緩斜面の崩壊原因として浸透水圧を荷担せるとして、模型実験を試みたが、その結果をもとえて安定解析を検討した。まず、非定常浸透流の飽和-不飽和有限要素解析を行ない、次に各要素に流線方向に浸透力と鉛直方向に重力が作用したときの安定解析を行なった。すなわち、境界面摩擦力および境界面すべりを考慮し、飽和度に依存するモール・クーロン型破壊規準による各要素の破壊安定性を検討した。

## 2. 解析方法

## (1) 饱和-不饱和浸透流解析 (FEM-A)

飽和-不饱和浸透流解析は、赤井・大西・西垣の手法<sup>(1)</sup>を用いた。支配方程式は次式に示すとおりである。

$$\operatorname{div} K(\varphi) - (\varphi + x_3) = (C(\varphi) + \alpha S_s)(\partial \varphi / \partial t) \quad (1)$$

ここに  $\{\alpha = 0$ : 不饱和領域,  $\varphi$ : 壓力水頭,  $x_3$ : 位置水頭,  $K(\varphi)$ : 2次の透水係数テンソル  
 $\{\alpha = 1$ : 饱和領域,  $C(\varphi) = 20/\varphi^4$ : 土水分容量,  $S_s = 20/\varphi^4$ : 比飽和係数

(1)式は重み付き残差法を用いて有限要素による定式化がなされ、時間上に關しても差分法による漸化式を用いている。本解析に必要となる入力データは、飽和状態の透水係数  $K_{sat}$  と貯留係数  $S_s$ , サクション(- $\varphi$ )-体積含水率の関係、比透水係数  $K_r$  ( $k_{unsat}/k_{sat}$ ) の関係、初期圧力水頭  $\varphi_0$  と初期体積含水率  $\theta_0$  等である。出力結果としては、任意時間上における各節点の全水頭  $(\varphi + x_3)$ 、圧力水頭  $\varphi$ 、体積含水率  $\theta$  等が得られる。

## (2) 浸透力と飽和度上昇による強度低下を考慮した安定解析

安定解析は伊勢田・植橋らの壁面摩擦力を考慮した有限要素解析手法<sup>(2)</sup>を基に改良を加えたものである。飽和度  $S_r$  と強度定数  $C_r$  との関係は双曲型の次式を有する。

$C(S_r) = 1/(b + \alpha S_r)$ ,  $\alpha = (1/C_i - 1/C_r) \cdot (1 - S_r)$  —— (2)  $\varphi$  に関する式を用いるが、 $\varphi_i = \varphi_e$  とし、 $C(S_r) = C_r$  を用いた。ここに、サフィックス  $i$  は初期または自然状態を意味し、1 は  $S_r=1$  饱和時を意味する。なお任意三角形要素  $e$  の飽和度  $\{S_r\}^e$  は、FEM-A の出力、各節点の体積含水率  $\theta_i$ ,  $\theta_e$  から次式で計算される。 $\{S_r\}^e = (\theta_i + \theta_e + \theta_k)/3n$  —— (3)

各要素における浸透力、およびそれと等価な節点力の計算式は図1を参照して以下のように説明される。

三角形要素  $e$  を含む面  $\Gamma$  の方程式は、 $Ax + By + Ch = D$  —— (4)

$$A = H_i(y_j - y_k) + H_j(y_k - y_i) + H_k(y_i - y_j), \quad B = H_i(x_j - x_k) + H_j(x_k - x_i) + H_k(x_i - x_j)$$

$$C = x_i(y_j - y_k) + x_j(y_k - y_i) + x_k(y_i - y_j) = 2 \cdot \text{dvol}, \quad D = H_i(x_j y_k - x_k y_j) + H_j(x_k y_i - x_i y_k) + H_k(x_i y_j - x_j y_i)$$

ここに  $H_m = y_m + x_m m$  ( $m = i, j, k$ ) : 各節点の全水頭,  $x_m, y_m$  ( $m = i, j, k$ ) : 各節点の  $X, Y$  座標。

要素  $e$  の  $X$  方向の動水勾配  $\{l_x\}^e = \partial H_e / \partial x$  は、面  $\Gamma$  上と  $\Gamma = 0$  面との交線の

$X$  方向の勾配であるから、交線  $\Gamma$  の方程式:  $Ax + Ch = D$ 。

$$\therefore \{l_x\}^e = \{H_e\}_{x=0} = A/C \quad (5) \text{ 同様に } Y \text{ 方向の動水勾配 } \{l_y\}^e \text{ は。}$$

$$\{l_y\}^e = -B/C \quad (6) \text{ 要素 } e \text{ の浸透力は}$$

$$\{P_x\}^e = \gamma_w \{l_x\}^e \cdot \text{dvol}, \quad \{P_y\}^e = \gamma_w \{l_y\}^e \cdot \text{dvol} \quad (7) \text{ 従って浸透力と等価な節}$$

点力  $f_m$  ( $m = i, j, k$ ) は (4)～(7) 式より (8) で与えられる。

$$X \text{ 方向: } f_{xm} = \{P_x\}^e / 3 = \gamma_w \{H_i(y_j - y_k) + H_j(y_k - y_i) + H_k(y_i - y_j)\} / 6 \quad (8)$$

$$Y \text{ 方向: } f_{ym} = \{P_y\}^e / 3 = \gamma_w \{H_i(x_k - x_j) + H_j(x_i - x_k) + H_k(x_j - x_i)\} / 6$$

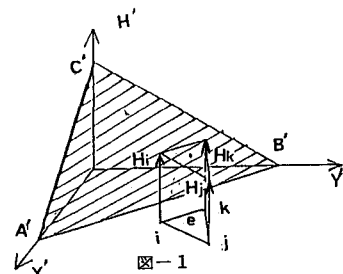


図-1

をある軸と反時計まわりに  $\theta$  回転した  $x, y$  座標系の場合は、(4)～(8)式の全ての  $x, y, x_m, y_m$  にプライムを付すだけよい。

### 3. 解析条件

模型実験に用いた斜面の分析モデルは図2に示すとおりであり、M-1はシルト質粘土、M-2は岩盤破碎帶である。入力した土性や、透水係数、自然および飽和時の強度定数等は、模型実験に関する報告<sup>(3)</sup>のそれを用いた。

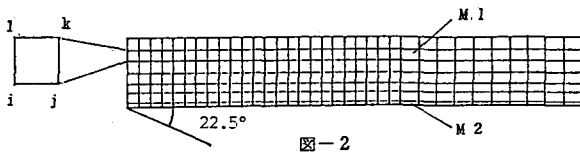


図-2

### 4. 解析結果および考察

FEM-Aの解析結果の一例を図3～図5に示す。

図3は全水頭、図4は自由水面の時間変化であり、図5は  $t = 35$  分における流線網を描いた図である。図6～図8は、FEM-Bの解析結果である。図6は  $t = 35$  分時の遂次破壊図で、図7は  $t = 2$  分における各要素の安定状態を示したものである。図8は図6に示した要素Aの主応力図で、Pはそれぞれ浸透圧、重力である。

### 5. あとがき

緩斜面崩壊模型実験について、有限要素法による浸透流れおよび安定解析をおこなった。本解析手法により、ある程度緩斜面の崩壊状況を説明できるとの感触を得たが、今後、 $\theta$ - $\phi$ 関係、 $\theta$ - $K_s$ 関係や、飽和度と強度定数の関係など実験的に充実すべき課題が多い。今後、本解析には文部省自然災害科学研究費の補助を受け、計算には本学情報処理センター・FACOM M-180ⅡA1を使用することを予記する。末筆ながら、本論文作成にあたり御指導くださった本学古本勝弘助教授、武政剛弘助手に感謝の意を表します。

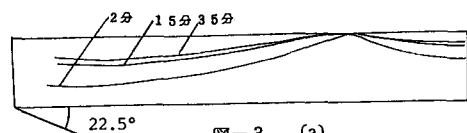


図-3 (a)

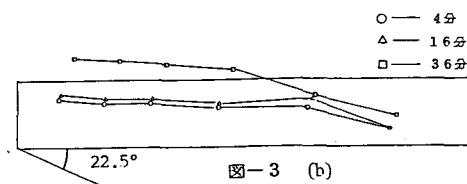


図-3 (b)

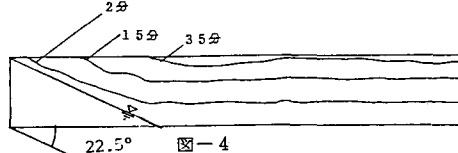


図-4

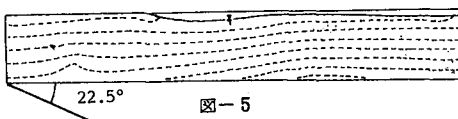


図-5

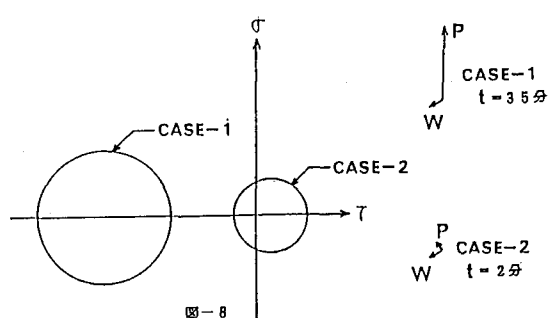


図-8

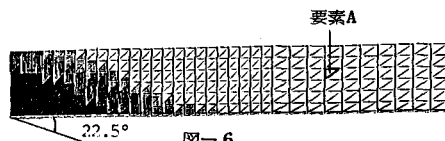


図-6

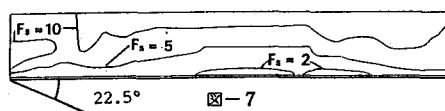


図-7

引用文献：(1) 赤井・大西・西垣：土木学会論報第264号, PP87-96, 1977 (2) 伊勢田・棚橋：第16回国土質工学研究発表会報告概要, PP37-45, 1981, (3) 伊勢田他, 昭和58年度土木学会西部支部発表会第Ⅲ部門, 1984.